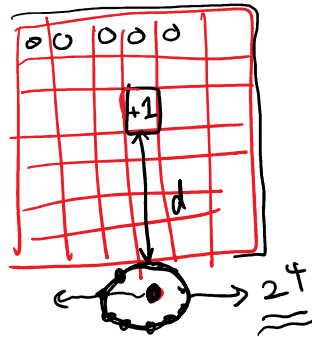


VFF  
VFH  
VFH+

Certainty Grid

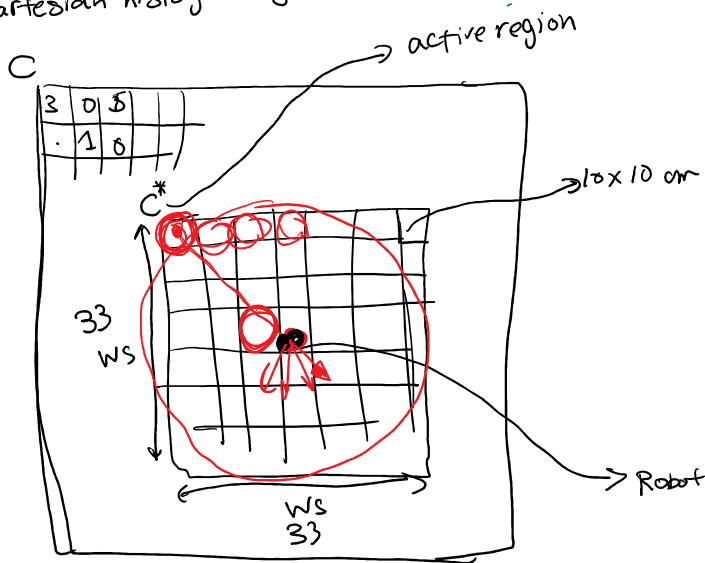
Cartesian histogram grid



VFF

Virtual Force Field

Cartesian histogram grid



نیروی دفعه + نیروی جاذبه

جهت روایت

نیروی دفعه  
موانع

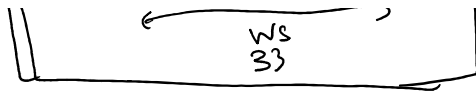
نیروی جاذبه  
موانع

رابطه کلی

$C^*$  مناسب

$x=2$

$d^2$



$C_{ij}^*$  → نیروی دفعه  
موانع

مستاسب  
 $C_{ij}^*$

رابطه عکس

$$d^{x=2} = d^2$$

$$F_r + F_t = R$$

نیروی دفعه کل

نیروی جاذبه

جهت: target  
اندازه: constant

$W_s \times W_s$

$$33 \times 33 = 1089$$

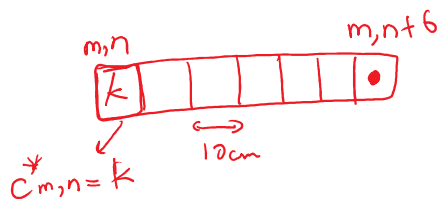
$$C_{ij}^* / d^2$$

مربع  
 $V_{max} \times \bigcirc$

29

فاصله موانع  $> 1.8 \text{ m}$

اصول VFF :



$$C_{m,n}^* = K$$



$$C_{m,n}^* = K$$

$$|F_{m,n}| = K / 0.6^2 = 2.8 K$$

$> 40\%$

$$|F_{m,n}| = K / 0.5^2 = 4 K$$

90°

نتیجه: پرس در جهت راست

low-pass filter

عیب

حسن

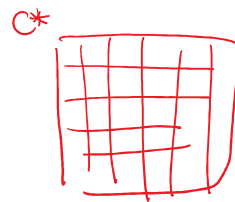
"Delay"

افان کردن حرکت

تغییرت بیسی از  $15^\circ$  مجاز نباشد.

VFF

"VFH" Vector Field Histogram



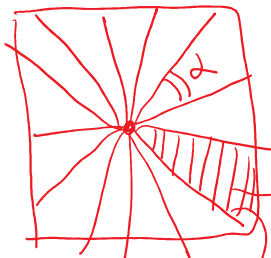
الگوی VFF:

بند مرتبه  $\rightarrow$  جهت انداره  $\rightarrow$   $Fr$  (دو تا عدد)

سطح اول: Cartesian histogram grid (VFF)



سطح دوم: one-dimension polar histogram (سطح اول)



بند مرتبه

$\alpha$  زاویه (دری)  $\rightarrow$   $r$  شعاع

$C^*$



H polar histogram

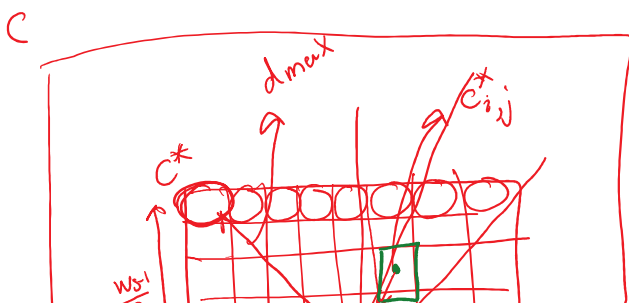
$C^*$  active region  
 33x33 cells  
 $w_s \times w_s$

$H$  polar histogram  
 Transformation

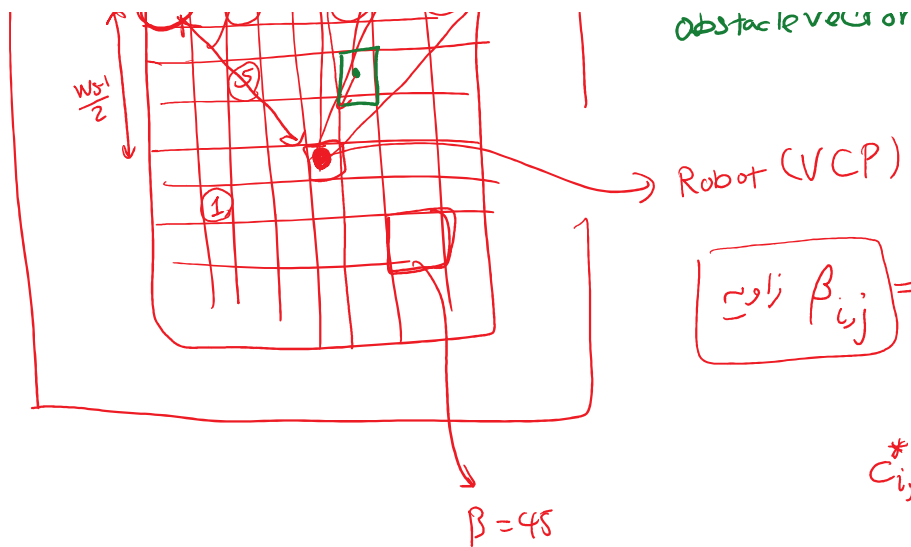
$k_{int} \rightarrow \underline{\underline{h_k}}$  polar obstacle density  
 $k_{int}$



طرح سوم : زاویه + سرعت روپايت



هر کدام از سول ها داخل  $C^*$  برادر مانع  
obstacle vector



$$\beta_{ij} = \tan^{-1} \frac{y_i - y_0}{x_i - x_0}$$

$C_{ij}^*$  : موقعیت  $x_i, y_i$

VCP : موقعیت  $x_0, y_0$

$\beta_{ij}^*$  : زاویه بردار مانع  $C_{ij}^*$

$$m_{ij} = (C_{ij}^*)^2 (a - b d_{ij})$$

فاصله سلول

دلیل توان ۲ : موانع واقعی یا ضریب در نظر گرفته شود و خواسته های noisy اثر آن کم شود.

$m_{ij}$  مشابه است با  $d_{ij}$  - هر چه سلول به دیوار نزدیک تر باشد ضریب بالاتر

$d_{ij}$  : فاصله  $C_{ij}^*$  از VCP

$$a - b d_{\max} = 0$$

انتخاب  $a$  و  $b$  :

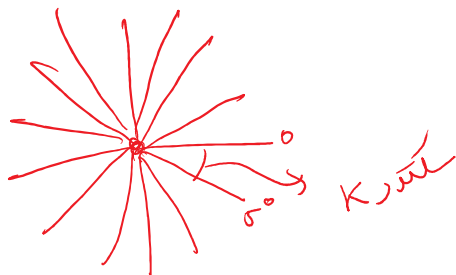
$$d_{\max} = \sqrt{2} (w_s - 1) / 2$$

(اندازه سلول  $x$ )

optional

$$n = 360 / \alpha$$

عدد صیغ



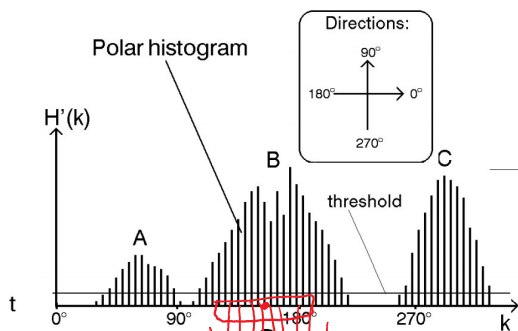
از روشن هیستوگرام قطبی H:  $\alpha$  دلخواه  
تعداد کندرها 72، 5 درجه

هر کندر k  
 $k = 0, 1, \dots, n-1$

$$k = \text{INT}(\beta_{ij} / \alpha)$$

$$h_k = \sum_{i,j} m_{i,j}$$

$$C_{i,j}^* \in k$$



smoothing function

تابع هوار سازی

l=5 اندزه پنجره

Screen clipping taken: 6/13/2021 10:26 AM

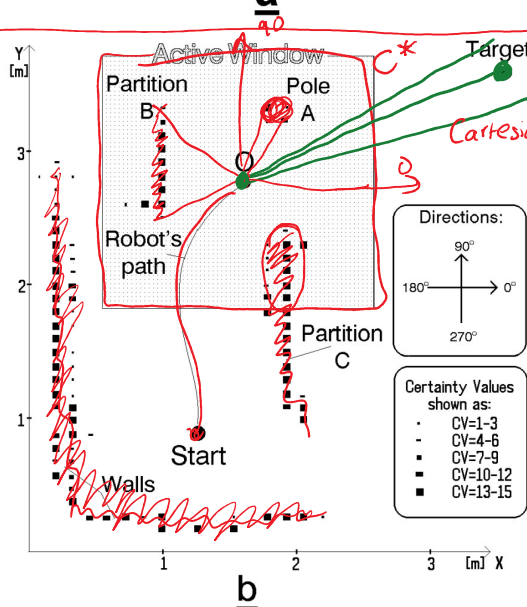
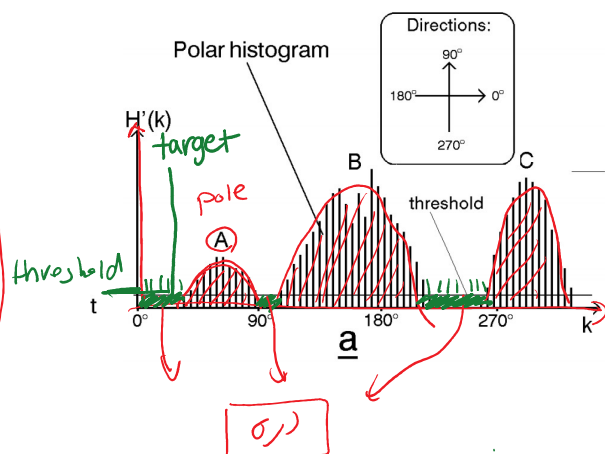
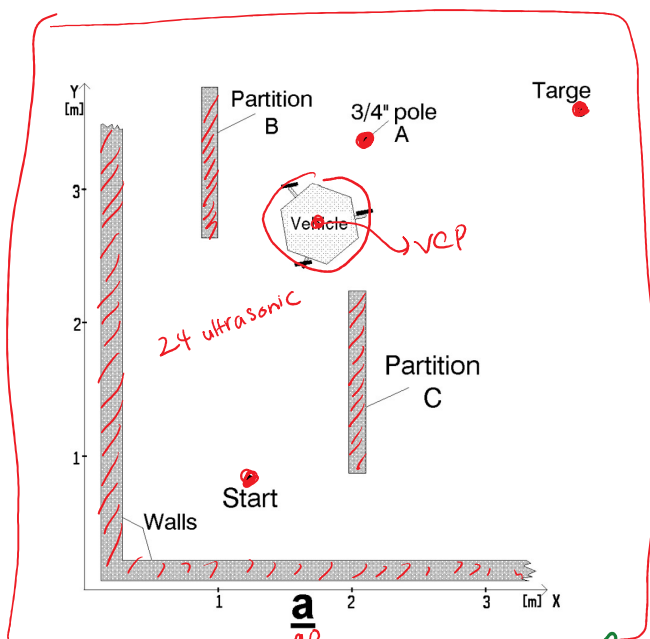
$$h'_k = \frac{h_{k-l} + 2h_{k-l+1} + \dots + lh_k + \dots + 2h_{k+l-1} + h_{k+l}}{2l+1}$$

< 1.8m

0.8m

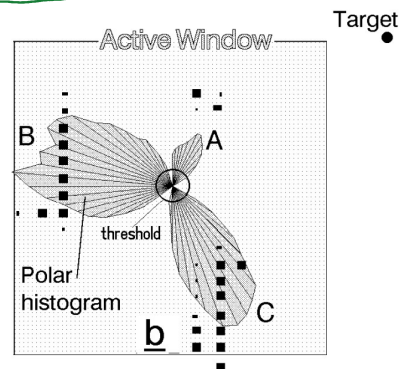
~ 1.2m

سطح دم: هیستوگرام قطبی



گام‌برد حرکت روبات

Cartesian histogram grid



POD

تعداد سکته‌ها از  $S_{max}$  بیشتر باشد. ( $S_{max} = 18$ )

حالت اول: دره چین

$k_{targ}$ : سکته تارگتین

$k_n$ : سکته‌ها که نزدیکترین  $k_{targ}$  و POD کمتر threshold

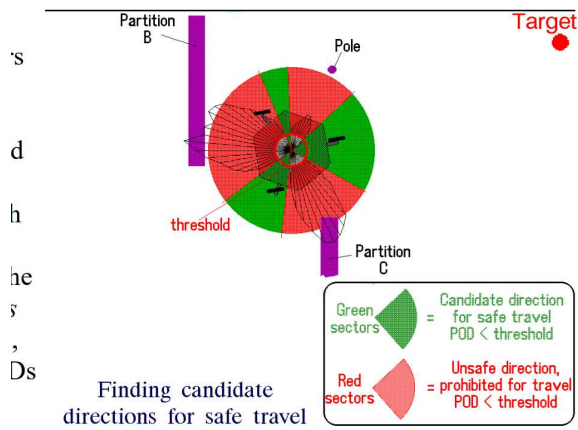
polar obstacle density.

near border

$$k_f = k_n + s_{max} \quad \Rightarrow \quad k_f$$

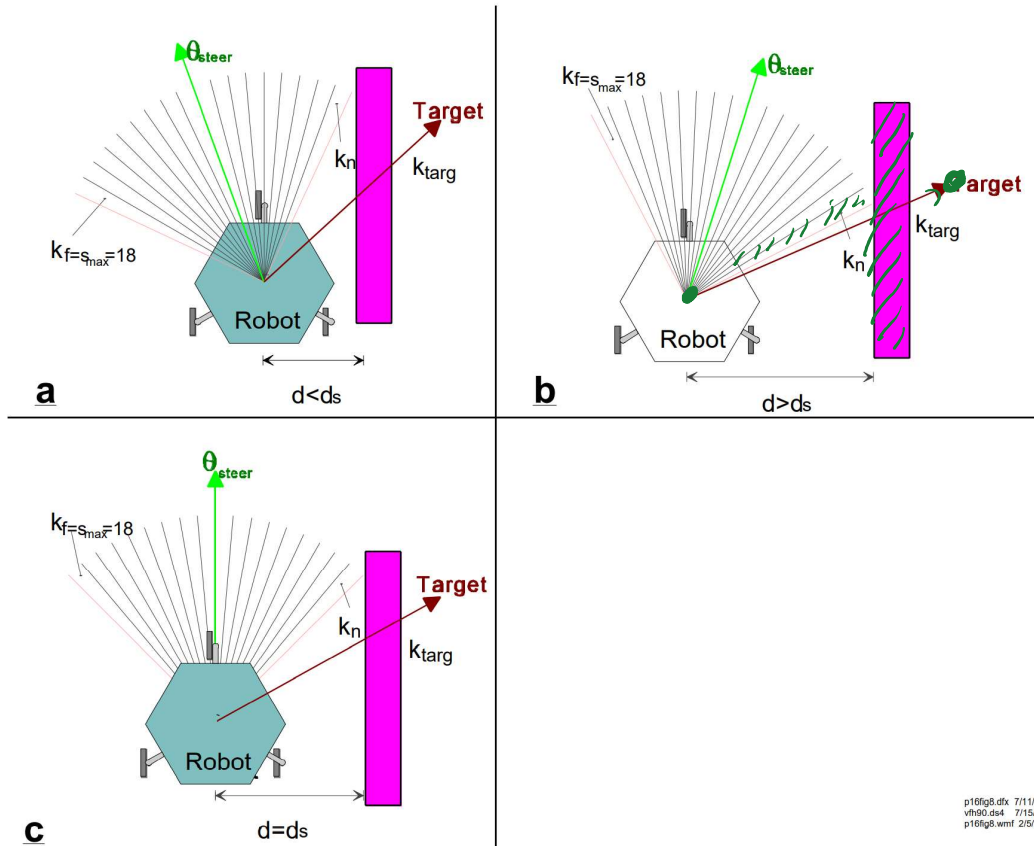
for border

$$\theta = (k_n + k_f) / 2$$



wide





p16fig6.dfx 7/11/90  
vfh90.dsf 7/15/93  
p16fig6.wmf 2/5/95

Screen  
clipping  
taken:  
6/13/2021  
10:43 AM